



## Raport

z badań poziomu natężenia pola elektrycznego  
w otoczeniu stacji bazowej:

### PIL3071

na podstawie sprawozdania 42/47/22/OS udostępnionego przez Radiolog S.C. Tadeusz Piotrowski  
i Janusz Rzepka

---

#### Laboratorium prowadzące badania

Radiolog S.C. Tadeusz Piotrowski i Janusz Rzepka  
ul. Dworska 46  
71-026 Szczecin  
91 483 21 15  
radiolog\_sc@poczta.onet.pl

#### Zleceniodawca badań

P4 Sp. z o.o.  
02-677 Warszawa  
790 500 500  
kontakt@play.pl

Nr akredytacji: AB 413

Data wydania sprawozdania: 24.03.2022

Raport zawiera wybrane elementy sprawozdania i służy wyłącznie obrazowemu przedstawieniu informacji o danej instalacji. Raport nie może być wykorzystywany w postępowaniach administracyjnych.

## Informacje ogólne

Zgodność z metodyką RMK: Tak

Ograniczenia: Na podstawie art. 122a ust. 1b ustawy Prawo ochrony środowiska (t.j. Dz.U. z 2020 r., poz. 1219, 1378, 1565, 2127, 2338, z 2021 r. poz. 802, 868, 1047, 1162, 1535.), pomiary PEM w lokalach mieszkalnych i użytkowych zlokalizowanych w obszarze pomiarowym badanej stacji bazowej nie zostały przeprowadzone.

Wykorzystanie w obszarze regulowanym: Tak

## Przedmiot badań

Identyfikator stacji w UKE	PIL3071
Operator	P4 Sp. z o.o.
Współrzędne	16,7952780; 53,2200000
Rodzaj pracy	ciągła
Rodzaj wytwarzanego pola	stacjonarne

## Miejsce badań

Otoczenie stacji bazowej PIL3071 w lokalizacji Skórka, dz. nr 8124/1, obręb 0077.

## Cel badań

1. Zweryfikowanie zgodności z wymaganiami rozporządzenia Ministra Zdrowia z dnia 19 grudnia 2019 r.

## Opis stacji bazowych

Tabela 1: Opis anten badanych stacji bazowych

Lp.	Identyfikator stacji w UKE	Typ Producent anteny	Azymut	H	EIRP	Pasma	Tilt	Tilt w trakcie pomiarów
			[°]	[m]	[W]	[MHz]	[°]	[°]
1	PIL3071	ADU4518R8v06 Huawei	70	58,50	9772*	LTE 800 LTE 1800	0,0 - 10,0 2,0 - 12,0	5,0 5,0
2		A704517R0v06 Huawei	70	58,50	4051*	UMTS 900	0,0 - 10,0	5,0
3		ADU4518R8v06 Huawei	70	58,50	10295*	LTE 800 LTE 2100	0,0 - 10,0 2,0 - 10,2	5,0 5,0
4		ADU4518R8v06 Huawei	220	58,50	9772*	LTE 800 LTE 1800	0,0 - 10,0 2,0 - 12,0	5,0 5,0
5		A704517R0v06 Huawei	220	58,50	4051*	UMTS 900	0,0 - 10,0	5,0
6		ADU4518R8v06 Huawei	220	58,50	10295*	LTE 800 LTE 2100	0,0 - 10,0 2,0 - 12,0	5,0 5,0
7		ADU4518R8v06 Huawei	340	58,50	9772*	LTE 800 LTE 1800	0,0 - 10,0 2,0 - 12,0	5,0 5,0
8		A704517R0v06 Huawei	340	58,50	4051*	UMTS 900	0,0 - 10,0	5,0
9		ADU4518R8v06 Huawei	340	58,50	10295*	LTE 800 LTE 2100	0,0 - 10,0 2,0 - 12,0	5,0 5,0

\* moc EIRP łączna dla wszystkich częstotliwości anteny

## Warunki pomiarów

Pomiary w wyznaczonych punktach wykonano w następujących warunkach:

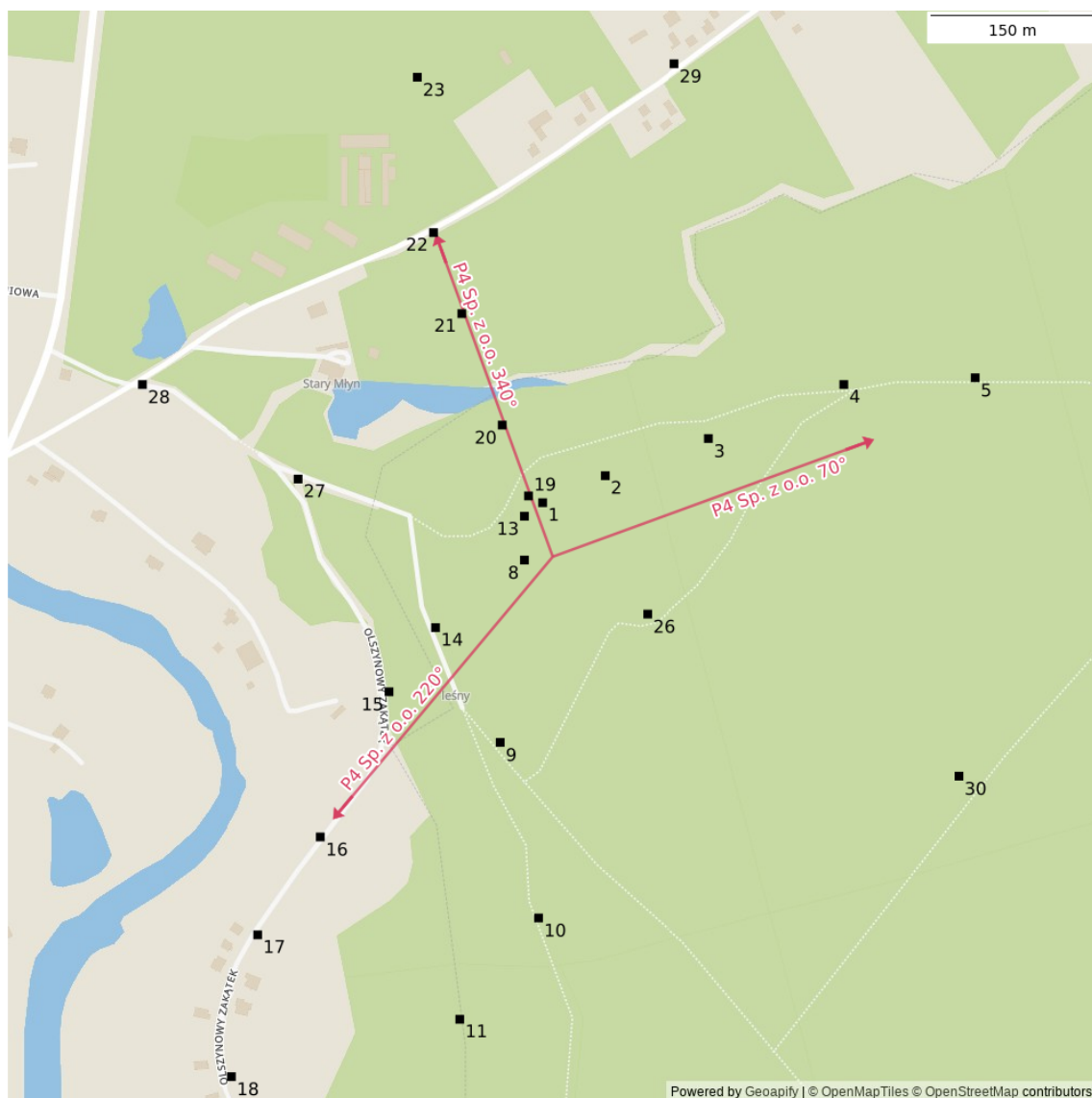
24.03.2022 08:05-10:30			
Warunki środowiskowe	Temperatura [°C]	Wilgotność [%]	Opady
Minimalna	4,2	52,4	brak
Maksymalna	9,6	56,2	

## Aparatura

Tabela 2: Aparatura

MIERNIKI I SONDY					
Lp.	Typ / Nazwa	Model	Producent	Próg detekcji	Świadectwo wzorcowania
1a	miernik	SMP2	SMP		LWiMP/W/257/20 z dn. 25.09.2020 wydane przez Laboratorium Wzorców i Metrologii Pola Elektromagnetycznego Instytutu Telekomunikacji, Teleinformatyki i Akustyki Politechnika Wrocławska
1b	sonda	WPF8 HP	SMP	0,50	
2a	miernik	NBM- 550	Narda		LWiMP/W/050/21 z dn. 17.02.2021 wydane przez Laboratorium Wzorców i Metrologii Pola Elektromagnetycznego Instytutu Telekomunikacji, Teleinformatyki i Akustyki Politechnika Wrocławska
2b	sonda	EF6091	Narda	0,50	
POZOSTAŁE					
Lp.	Typ / Nazwa	Model	Producent	Świadectwo wzorcowania	
3	termohigrometr	H560	EMD Systemy Pomiarowe	2951.1-M54 -4180-1501/15 z dn. 19.08.2015 wydane przez GUM w Warszawie	

# Lokalizacje pionów pomiarowych



Rysunek 1: Plan terenu

## Wyniki pomiarów szerokopasmowych

Tabela 3: Zestawienie lokalizacji pionów pomiarowych oraz wyników pomiarów natężenia pola elektrycznego, pomiary szerokopasmowe

Nazwa	Data	Współrzędne geograficzne	E	WM <sub>E</sub>	H	WM <sub>H</sub>
		[°]	[ $\frac{V}{m}$ ]		[ $\frac{A}{m}$ ]	
1	24.03.2022	16,7951389 53,2204444	< 1,06	< 0,038	< 0,003	< 0,039
2	24.03.2022	16,7960000 53,2206667	< 1,06	< 0,038	< 0,003	< 0,039
3	24.03.2022	16,7974167 53,2209722	< 1,06	< 0,038	< 0,003	< 0,039

Ciąg dalszy na następnej stronie

Tabela 3: Zestawienie lokalizacji pionów pomiarowych oraz wyników pomiarów natężenia pola elektrycznego, pomiary szerokopasmowe (c.d.)

Nazwa	Data	Współrzędne geograficzne	E	WM <sub>E</sub>	H	WM <sub>H</sub>
		[°]	[ $\frac{V}{m}$ ]		[ $\frac{A}{m}$ ]	
4	24.03.2022	16,7992778 53,2214167	< 1,06	< 0,038	< 0,003	< 0,039
5	24.03.2022	16,8010833 53,2214722	< 1,06	< 0,038	< 0,003	< 0,039
6	24.03.2022	16,8029167 53,2214167	< 1,06	< 0,038	< 0,003	< 0,039
7	24.03.2022	16,8032500 53,2222222	< 1,06	< 0,038	< 0,003	< 0,039
8	24.03.2022	16,7948889 53,2199722	< 1,06	< 0,038	< 0,003	< 0,039
9	24.03.2022	16,7945556 53,2184722	1,27	0,045	0,003	0,046
10	24.03.2022	16,7950833 53,2170278	< 1,06	< 0,038	< 0,003	< 0,039
11	24.03.2022	16,7940000 53,2161944	< 1,06	< 0,038	< 0,003	< 0,039
12	24.03.2022	16,7936111 53,2151667	< 1,06	< 0,038	< 0,003	< 0,039
13	24.03.2022	16,7948889 53,2203333	< 1,06	< 0,038	< 0,003	< 0,039
14	24.03.2022	16,7936667 53,2194167	< 1,06	< 0,038	< 0,003	< 0,039
15	24.03.2022	16,7930278 53,2188889	< 1,06	< 0,038	< 0,003	< 0,039
16	24.03.2022	16,7920833 53,2176944	1,06	0,038	0,003	0,039
17	24.03.2022	16,7912222 53,2168889	1,69	0,060	0,004	0,061
18	24.03.2022	16,7908611 53,2157222	1,27	0,045	0,003	0,046
19	24.03.2022	16,7949444 53,2205000	< 1,06	< 0,038	< 0,003	< 0,039
20	24.03.2022	16,7945833 53,2210833	< 1,06	< 0,038	< 0,003	< 0,039
21	24.03.2022	16,7940278 53,2220000	< 1,06	< 0,038	< 0,003	< 0,039
22	24.03.2022	16,7936389 53,2226667	< 1,06	< 0,038	< 0,003	< 0,039
23	24.03.2022	16,7934167 53,2239444	< 1,06	< 0,038	< 0,003	< 0,039
24	24.03.2022	16,7928889 53,2248333	< 1,06	< 0,038	< 0,003	< 0,039

ciąg dalszy na następnej stronie

Tabela 3: Zestawienie lokalizacji pionów pomiarowych oraz wyników pomiarów natężenia pola elektrycznego, pomiary szerokopasmowe (c.d.)

Nazwa	Data	Współrzędne geograficzne	E	WM <sub>E</sub>	H	WM <sub>H</sub>
		[°]	[ $\frac{V}{m}$ ]		[ $\frac{A}{m}$ ]	
25	24.03.2022	16,7923889 53,2255278	< 1,06	< 0,038	< 0,003	< 0,039
26	24.03.2022	16,7965833 53,2195278	< 1,06	< 0,038	< 0,003	< 0,039
27	24.03.2022	16,7917778 53,2206389	< 1,06	< 0,038	< 0,003	< 0,039
28	24.03.2022	16,7896389 53,2214167	< 1,06	< 0,038	< 0,003	< 0,039
29	24.03.2022	16,7969444 53,2240556	< 1,06	< 0,038	< 0,003	< 0,039
30	24.03.2022	16,8008611 53,2181944	< 1,06	< 0,038	< 0,003	< 0,039

## Podsumowanie

Na podstawie wyników pomiarów pola elektromagnetycznego przedstawionych w niniejszym raporcie o nr 42/47/22/OS opracowanym przez Radiolog S.C. Tadeusz Piotrowski i Janusz Rzepka stwierdza się, że w otoczeniu stacji bazowej PIL3071 dopuszczalne poziomy pól elektromagnetycznych w środowisku, określone w przepisach wydanych na podstawie art. 122 ust. 1 ustawy z dnia 27 kwietnia 2001 r. – Prawo ochrony środowiska uznaje się za **dotrzymane**. Udokumentowano, że w żadnym pionie pomiarowym wartości wskaźnikowe WM<sub>E</sub> oraz WM<sub>H</sub> nie przekroczyły 1.

## Osoby odpowiedzialne

Wykonanie pomiarów: b.d.

Opracowanie sprawozdania: b.d.

Autoryzacja sprawozdania: Tadeusz Piotrowski (kierownik ds. jakości)